

1 まえがき これまで主として絶乾状態のマサ土を対象に、実固めによる土粒子の破碎状況を観察してきたが、土粒子に水が添加されるとその破碎状況はかなり異なつたものになることが予想される。今回はこの点について考察するとともに締固め特性への影響について言及する。

2 実験方法 試料は六甲山系マサ土(黒雲母を含む)で、自然土の4.76 mm フルイ通過分であるが初期粒度の一致を確実にするため粒度調整して使用した。その物理的性質は表-1と図-1に示す。締固め試験はJIS A 1210の1.1-b法に準じ、実固め回数を25, 100, 400回の3通りに変えて自動実固め装置で行なつた。実固め前後の試料は74 μm フルイで水洗いし炉乾燥させたのち、電動式ロータップ型振とう機にかけて(5分間)粒度分析を行なつた。(なお、実際には実固め後の試料を透水装置にかけて後(cm^3/sec)と測ったのち水洗いして粒度分析している。透水結果は今回省略する。)

3 結果と考察 ■ 実固めによる粒度変化—水の存在によって土粒子の

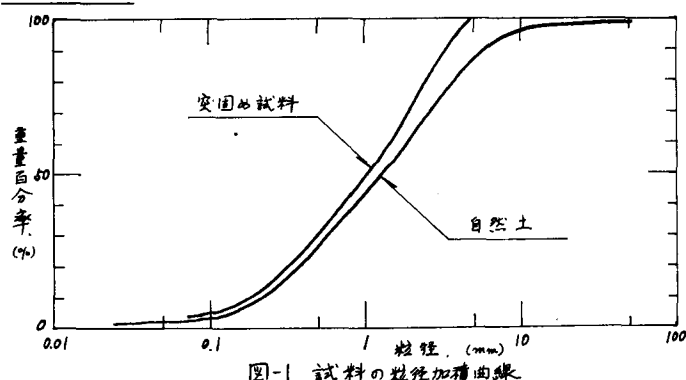


図-1 試料の粒径加積曲線

自然 分量 土 山系	最大径 (mm)	50.8
	4.76 mm以上に占有率(%)	13.81
試 料	土壤比重	2.648
	JIS A 1202 0.074 mm以下	2.670
4.76 mm 以下 粒 度 調 整	均等係数	8.3
	最小密度, δ_{\min} (g/cm^3)	1.529
	風化度 $F = G_{100}/G_{50}$	0.37
	色調(乾燥状態)	茶褐色

細粒化の様子がどう変わらかは興味ある事柄で、その1例を図-2に示す。この図は絶乾状態と最適含水比付近の試料について、実固め前後のフルイ分析結果より粒度曲線との距離を算出して粒径に対してプロットしたものである。これより、最適含水比付近の試料では絶乾状態のものよりも最大粒径の現われた位置が細粒域へ移動し、74 μm 以下の細粒子分が相当ふえていることがわかる。さういふ、 W_{opt} 付近の試料では粗粒子(4.76~200 mm)

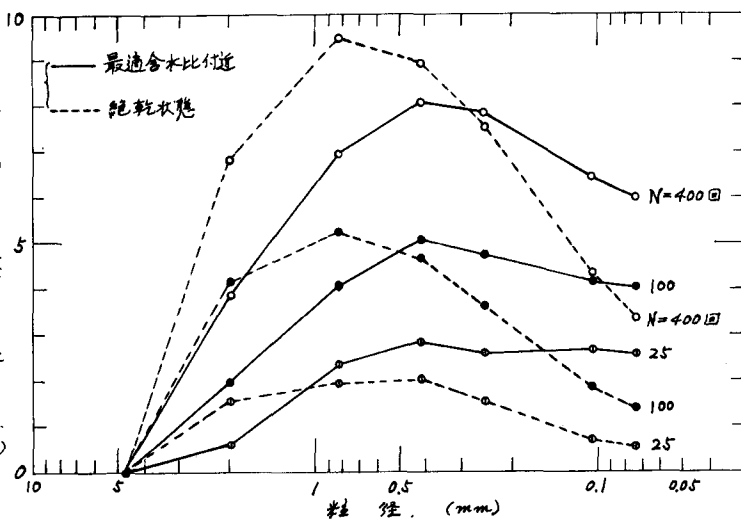


図-2 実固めによる粒度分布の変化

の破碎度合が少ないので細粒子($0.074\text{mm}\text{以下}$)の増加が顕著であり、他方、絶乾状態の試料では粗粒子の破碎が大であるにもかかわらず細粒子の増加が目立たないことが知られる。このことは、土粒子の吸水により粒子自身の強さが減少することなどのために、大小粒子が適度なく破碎を受けて細粒合の増大を著しくする傾向にあることを物語つていいと思われる。■ 繩固め特性—図-3は、試料の繩固め曲線と粒子破碎量 S.I.¹⁾ の変化状況を合わせて示している。この図から、S.I.～砂固めは繩固め曲線と比較的似通つた形状であること、最大破碎量を示す位置は W_{opt} 時からずれることなどが知られる。前者については、S.I. は繩軸上 ($N=25, 100, 400$ 回) に対して W_{opt} 付近に位置から出発して上に凸なカーブを描きながら W_{opt} 附近に減少し始め、以後の含水比の増加について 3 本の曲線はすべて 1 本に収束する気配である。このことは、ゼロ空ギヤ曲線は似た性格のユニークな限界線の存在を暗示している。一方、後者の最大破碎量を示す位置については、今回使用したマサ土 ($F=0.37$) ではなく、繩側面にくるが、やや湿润側にくるという報告²⁾もあるのでマサ土の種類を変えて行はうとともに実験方法の問題点も含めて広く検討する必要がある。なお、図中の点線は絶乾状態のマサ土で成り立つ式 $y_{sf} = a(SI)^{\frac{1}{2}}(G_s + C_s)$ をそのまま用いて、粒子破碎に伴う密度増加量 y_{sf} をかりに求めめて引いた線である ($N=100$ 回の場合)。これからによれば、 y_{sf} は乾・湿で何れずほぼ一定値 (約 0.056%) になるが、実際には若干はならぬかと思う。また、点線の曲線のピーク時の位置は W_{opt} の実測値より若干乾燥側にくると想像されるが、この点についてもあわせて検討する中である。参考文献

- 1) 福本：粒子破碎量の整理法に関する一考察、第 6 回土質工学研究発表会
- 2) 久保田・佐藤：繩固めによる土粒子の破碎について、41 年度土壤園芸部講演会
- 3) 福本：繩固めたマサ土の密度に因る粒子破碎の影響、土壤工学会論文集、16.12, No. 3

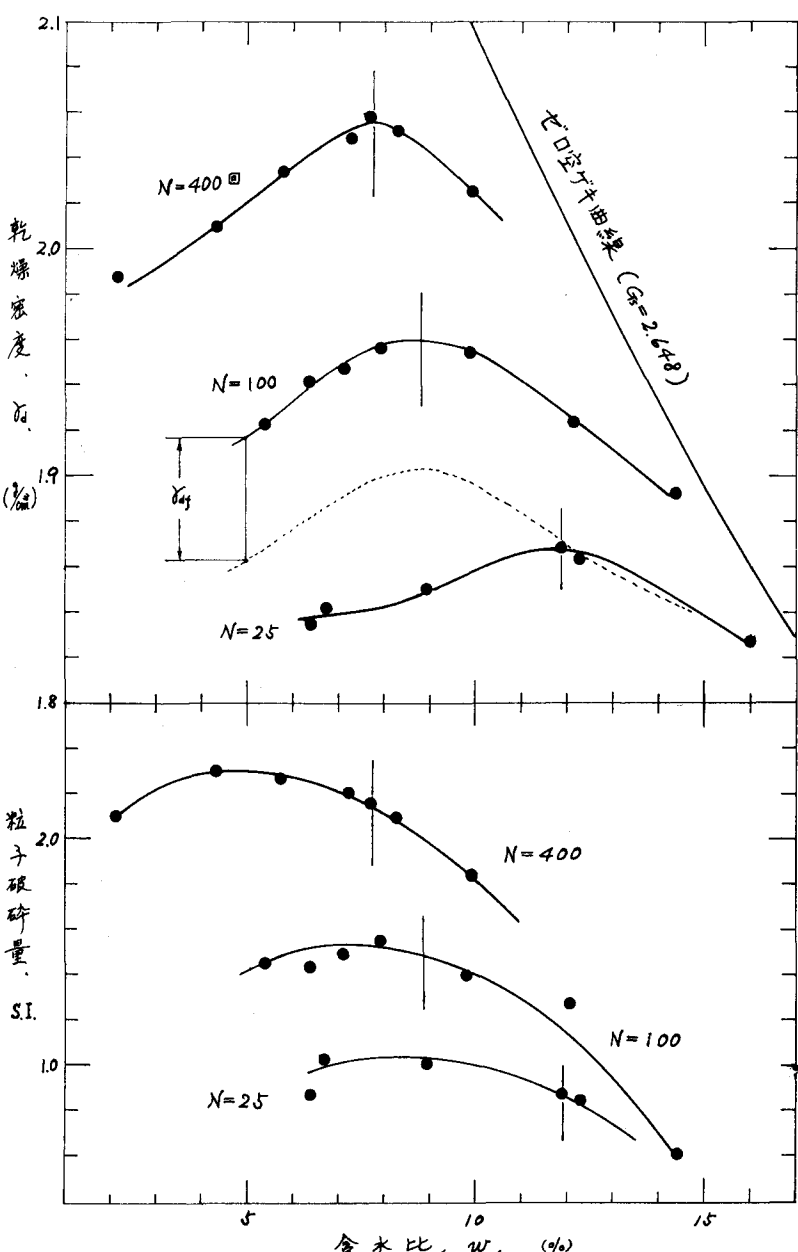


図-3 マサ土の繩固め特性